

บทที่ 4

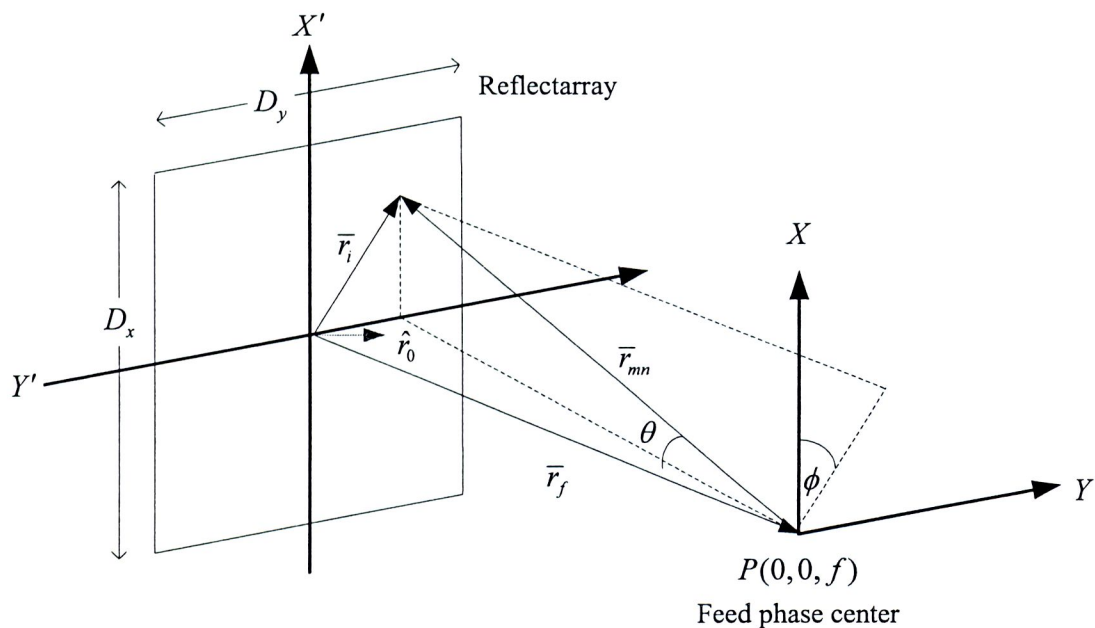
การออกแบบตัวป้อนสำหรับสายอากาศแคลดับสะท้อน

4.1 บทนำ

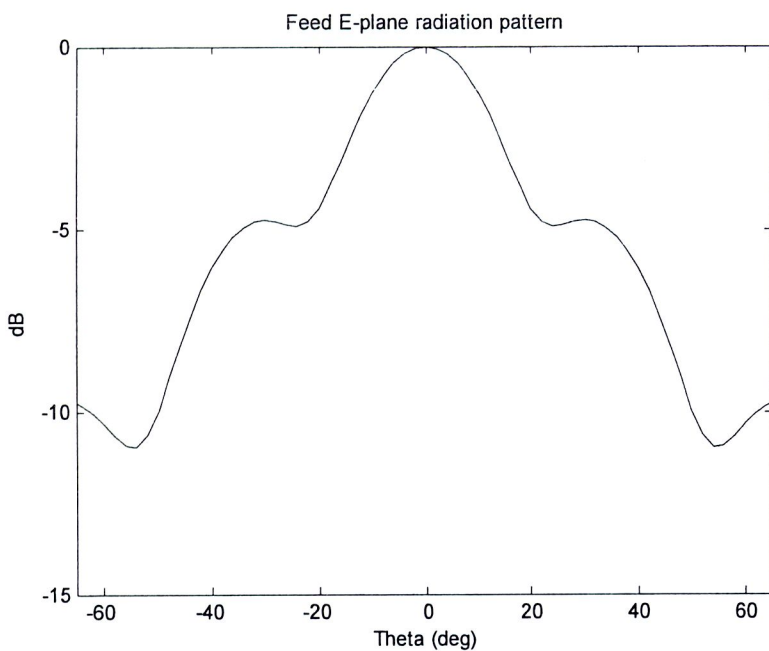
ในบทนี้จะนำเสนองานวิจัยการออกแบบตัวป้อนของสายอากาศแคลดับสะท้อนโดยใช้สายอากาศร่องแบบเรียบ โดยจะศึกษาแบบรูปการแพร่กำลังงานของสายอากาศป้อนและสนามตผลกระทบบนแคลดับสะท้อน และการศึกษาผลผลกระทบของกำลังโ Cooke ใช้น์ต่อประสิทธิภาพของสายสายอากาศแคลดับสะท้อน และทำการออกแบบสายอากาศป้อนที่เหมาะสมต่อไป

4.2 การศึกษาแบบรูปการแพร่กำลังงานของสายอากาศป้อนและสนามตผลกระทบบนแคลดับสะท้อน

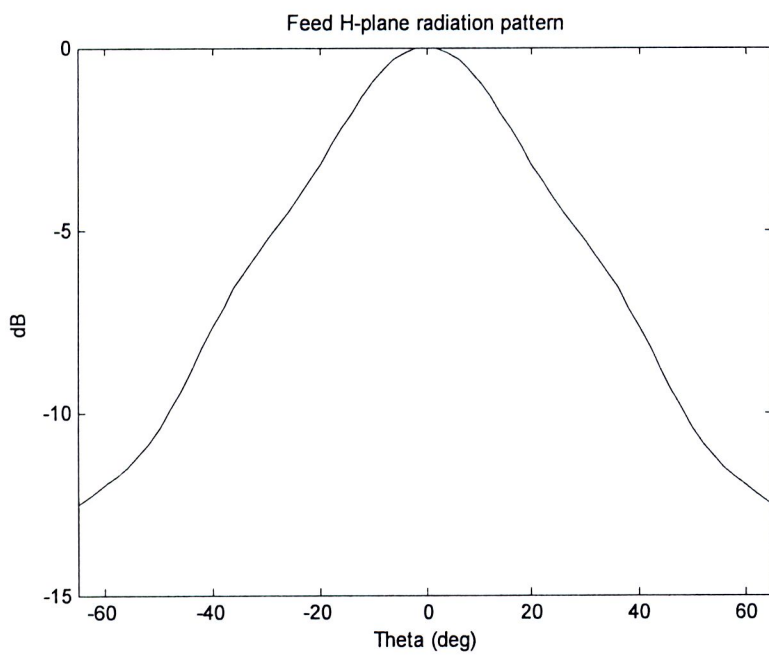
จากการศึกษาการออกแบบสายอากาศแคลดับสะท้อนที่ผ่านมาพบว่า สายอากาศป้อนที่นิยมนำมาใช้ในสายอากาศตัวสะท้อนคือ สายอากาศปากแตรปรามิติ รูปที่ 4.1 แสดงรูปทรงเรขาคณิตของสายอากาศแคลดับสะท้อน โดยมีตัวป้อนแบบสายอากาศปากแตรปรามิติวางในแนวแกน z ที่จุด $P(0, 0, f)$ ทำหน้าที่เผยแพร่การกระจายสนามไปยังแคลดับสะท้อนแบบไมโครสเตริปขนาด $D_x \times D_y$ โดยระบบ $E - plane$ ของตัวป้อนวางในระบบ x, z



รูปที่ 4.1 รูปทรงเรขาคณิตของสายอากาศแคลดับสะท้อน



(ก) ร澹านบสนนามໄຟຟາ



(ข) ร澹านบสนนามແມ່ເຫຼືກ

ຮູບທີ 4.2 ແບນຮູບການແຜ່ກະຈາຍກຳລັງງານຂອງຕັ້ງປິອນແບນປາກແຕຣປິຣາມິດ

แบบรูปการແຜ່ກຳລັງຈານຂອງຕົວປຶ້ອນດ້ວຍສາຍອາຄາສປາກແຕຣແບນປິຣາມີດ ແສດງດັ່ງສາມາດ (4.1)

$$\begin{aligned} E_\theta &= j \frac{k_0 E_0 e^{-jk_0 r}}{4\pi r} \sin \phi |F(\theta, \phi)| e^{j\psi(\theta, \phi)} \\ E_\phi &= j \frac{k_0 E_0 e^{-jk_0 r}}{4\pi r} \cos \phi |F(\theta, \phi)| e^{j\psi(\theta, \phi)} \end{aligned} \quad (4.1)$$

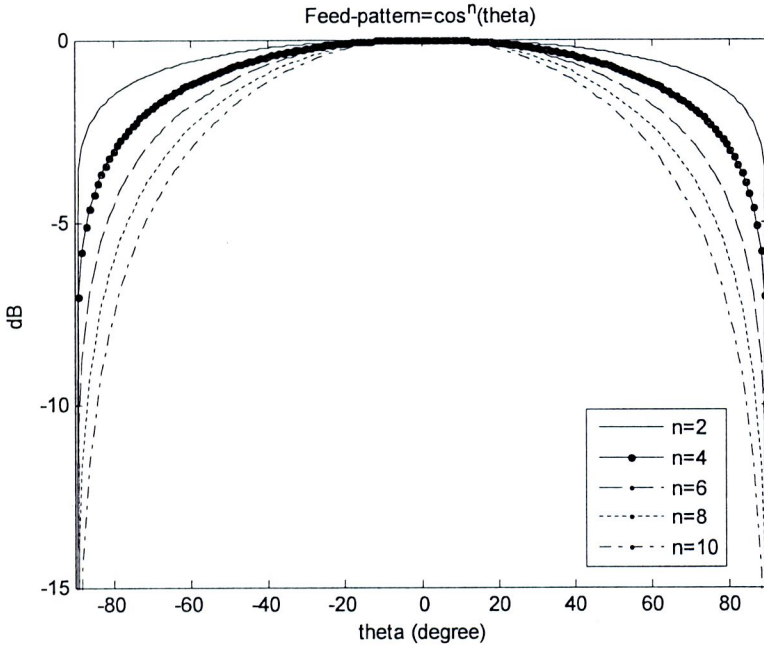
ໂດຍມີຕົວແປຣທີ່ຕ້ອງພິຈາຮາຄື່ອ $|F(\theta, \phi)|$ ແລະ $\psi(\theta, \phi)$ ໃນເຖຩນຂອງອິນທີກິຮັລເຟຣສເນລ (Fresnel Integral) ໂດຍໃຊ້ນີ້ແລະ ໄໃຫ້ນຳມາດີນ ແລະ ຕົວປຶ້ອນປາກແຕຣປິຣາມີດນີ້ຈະຄູກອອກແນບໃຫ້ສາມາດກຽບກົດທຸກຮອບນັນແຄວລຳດັບສະຫຼອນສູງທີ່ສຸດບັນລົບກາງແຜ່ນສະຫຼອນ ເນື້ອພິຈາຮາຄາຮັບປັບພູ້ຂ້າງ ອັດຕະຍາຍ ແລະ ສູນເສີຍເນື່ອງຈາກລື່ນຂອງຕົວປຶ້ອນແຜ່ກຳລັງຈານລື່ນ (spillover) ຈາກຂອບຕົວສະຫຼອນ ສໍາຮັນກາປັບປຸງ ຕໍ່ແໜ່ນໆການປຶ້ອນຈະພິຈາຮາຈາກທຸນລູ້ຂອງແບນຮູບປາກແຜ່ກຳລັງຈານໃນຮະນານສານາໄຟຟ້າແລະ ສານາມແມ່່ເໜີກ ດັ່ງແສດງໃນຮູບທີ່ 4.2 ເຊັ່ນ ຄໍາພິຈາຮາອອກແນບໂດຍກຳຫັນດໍໃຫ້ບັນລົບກົດທຸກຮອບນັນແຄວລຳດັບສະຫຼອນມີລື່ນທຸກຮອບນັນຈາກຕໍ່ແໜ່ນໆກິ່ງກາງແຜ່ນສະຫຼອນ 4.773 dB ສໍາຮັນຮະນານສານາໄຟຟ້າ ($\theta = 30^\circ$) ແລະ 5.33 dB ສໍາຮັນຮະນານສານາແມ່່ເໜີກ ($\theta = 30^\circ$) ໂດຍຕົວແປຣ $\psi(\theta, \phi)$ ຜົ່ງເປັນຕົວແປຣ ເຟສທີ່ອະເພອຣເຈອຣປິຣາມີດ ສາມາດພິຈາຮາແຍກອີສະຮຳສໍາຮັນຈຸດອ້າງອີງເຟສ θ ແລະ ϕ ໄດ້ ໂດຍຈຸດເຟສອ້າງອີງທີ່ຈຸດກິ່ງກາງແຄວລຳດັບສະຫຼອນ ຈະທຳໃຫ້ເກີດສານາແຜ່ກະຈາຍໄປທີ່ໄກລ້າ ມີຫັກລື່ນທຽບກົດທຸກຮອບນັນ ເນື່ອງຈາກເຟສດ້ານໜ້າທີ່ແຕກຕ່າງກັນຮ່ວງຮະນານສານາໄຟຟ້າກັບຮະນານສານາແມ່່ເໜີກ ຈະທຳໃຫ້ມີສູນຍົກລາງເຟສທີ່ແຕກຕ່າງກັນສອງຮະນານ ແລະ ສູນຍົກລາງເຟສຂອງຮະນານສານາໄຟຟ້າກັບຮະນານສານາແມ່່ເໜີກຫາໄດ້ຈາກ $\psi(\theta, \phi)$ ທີ່ຕໍ່ແໜ່ນໆຈາກອະເພອຣເຈອຣປິຣາມີດໄປຢັງຕົວປຶ້ອນ ແລະ ຕໍ່ແໜ່ນໆຕົວປຶ້ອນ ມີຮະຍະໂຟກສເທົກນັນ 25 ເຊັ່ນຕິເມຕີຣ ແລະ ເຮົາຈຳເປັນຕ້ອງພິຈາຮາຮະຍາທາງທີ່ຄືລື່ນທຸກຮອບນັນຫັກລື່ນທຽບກົດທຸກຮອບນັນໄປຢັງແຄວລຳດັບສະຫຼອນ ດັ່ງຮູບທີ່ 4.2 ໂດຍມີເຟສສູນຍົກລາງທີ່ຄວາມດື່ງກົນຕິດກົດ

ສານາມທຸກຮອບນັນແນວສັນພັບອອກແຄວລຳດັບສະຫຼອນຈະອູ້ໃນແນວແກນ x ແລະ ແກນ y ເຮົາສາມາດແສດງເພະສານາໄຟຟ້າໃນອົງກົດກົດອອກອອນ x ແລະ ມີຮະນານໂພລາໄຣ້ແບນໂໝນດ TM ໄດ້ດັ່ງສາມາດ (4.2) ໂດຍມີມຸນທຸກຮອບນັນ $(\theta_0, \phi_0) = (\theta_i, 0)$ ແລະ ສານາສານາໄຟຟ້າຂອງແຜ່ນສະຫຼອນ i ໄດ້ ຄູກນອຽມອລໄລ້ຈາກສານາທີ່ອີລິເມນຕໍ່ກິ່ງກາງແຄວລຳດັບສະຫຼອນ

$$\bar{E}_i^{inc} = \frac{|\bar{r}_f|}{|\bar{r}_i - \bar{r}_f|} \frac{F(\theta_i, \phi_i)}{F(\theta = 0, \phi = 0)} e^{-jk_0(|\bar{r}_i| - |\bar{r}_f|)} \cdot [\cos \phi \hat{a}_\theta + \sin \phi \hat{a}_\phi] \quad (4.2)$$

ໂດຍທີ່ \bar{r}_i ເປັນເວັກເຕອຮົ່ວຕໍ່ແໜ່ນໆຂອງແຜ່ນສະຫຼອນໄດ້ ແລະ \bar{r}_f ເປັນເວັກເຕອຮົ່ວຕໍ່ແໜ່ນໆອ້າງອີງທີ່ຈຸດເຟສ ແລະ ສູນຍົກລາງຕົວປຶ້ອນ

รูปที่ 4.3 แสดงกำลังโโคไซน์ ($\cos^n \theta$) ที่มีผลต่อแบบรูปการแผ่กำลังงานของตัวป้อน พนว่าถ้าเลขกำลังโโคไซน์ของสายอากาศมีค่าน้อย จะส่งผลให้ตัวป้อนมีลำคลื่นกว้าง และกำลังงานบริเวณคลื่นตกกระหนทุกจุดบนตัวสะท้อนจะมีค่าใกล้เคียงกัน



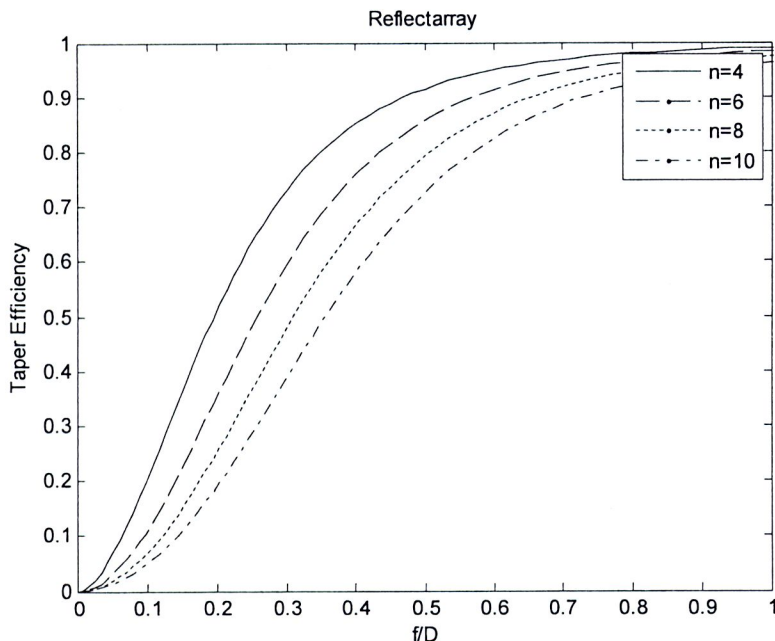
รูปที่ 4.3 ผลกระทบของกำลังโโคไซน์ต่อแบบรูปการแผ่กำลังงานของตัวป้อน

4.3 การศึกษาผลกระทบของกำลังโโคไซน์ต่อประสิทธิภาพของสายอากาศและลำดับสะท้อน

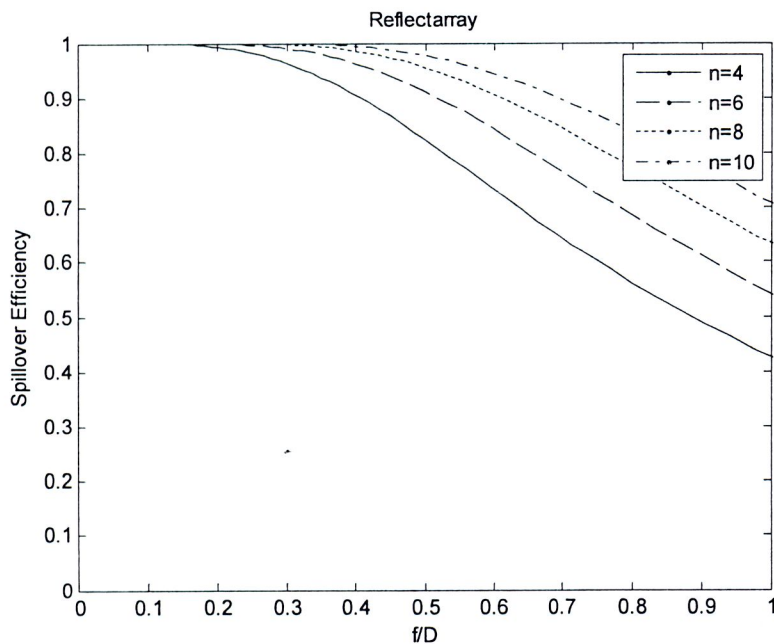
การเลือกอัตราส่วนระหว่างระยะไฟกัสต่อขนาดสายอากาศ (f / D) ที่ดีที่สุดสำหรับสายอากาศ เแฉลำดับสะท้อน จะต้องพิจารณาจากหลายตัวแปร ถ้าเลือกให้ f / D มีค่านาน จะทำให้ระนาบหน้า คลื่นทรงกลมตกรอบคลุมพื้นที่พิวของสายอากาศและลำดับสะท้อน และทำให้โพลาไรซ์ไขว้ มีค่าต่ำสุด แต่มีข้อเสียคือจะทำให้เกิดการสูญเสียจากการลื้น นอกจานนั้นยังเกิดการผิดรูปของแบบรูปการ แผ่กระจายกำลังงานเนื่องจากการลื้อกะเพอเรจเจอร์ของตัวป้อนด้วย ถ้าเลือกให้ f / D มีค่าน้อย การบล็อกกะเพอเรจเจอร์ของตัวป้อนจะลดลง แต่จะเกิดปัญหาการแมตช์อะเพอเรจเจอร์ เช่น ถ้าออกแบบสายอากาศและลำดับสะท้อนโดยใช้แบบรูปการแผ่พลังงานในรูปที่ 4.2 เป็นตัวป้อน และเลือกใช้ $f / D_x = 0.866$ โดยที่ $D_x = 0.30\text{ m}$ และ $D_y = 0.30\text{ m}$ ซึ่งจะทำให้มีมุนตผลกระทบสูงสุดในระนาบ x, z และ y, z เท่ากับ 30° เป็นต้น

จากรูปที่ 4.3 ซึ่งแสดงกำลังโโคไซน์ ($\cos^n \theta$) ที่มีผลต่อแบบรูปการแผ่กำลังงานของตัวป้อน ถ้าต้องการออกแบบให้สายอากาศและลำดับสะท้อนมีประสิทธิภาพสูงสุด จึงจำเป็นต้องพิจารณาทั้งความเรียวย (taper) ของแบบรูปการแผ่กำลังงานของตัวป้อน และการสูญเสียน่องจากคลื่นของตัวป้อนแผ่กำลังงานลื้น (spillover) จากขอบตัวสะท้อน รูปที่ 4.4 ถึง 4.6 แสดงผลกระทบของกำลังโโคไซน์ของตัวป้อนต่อ

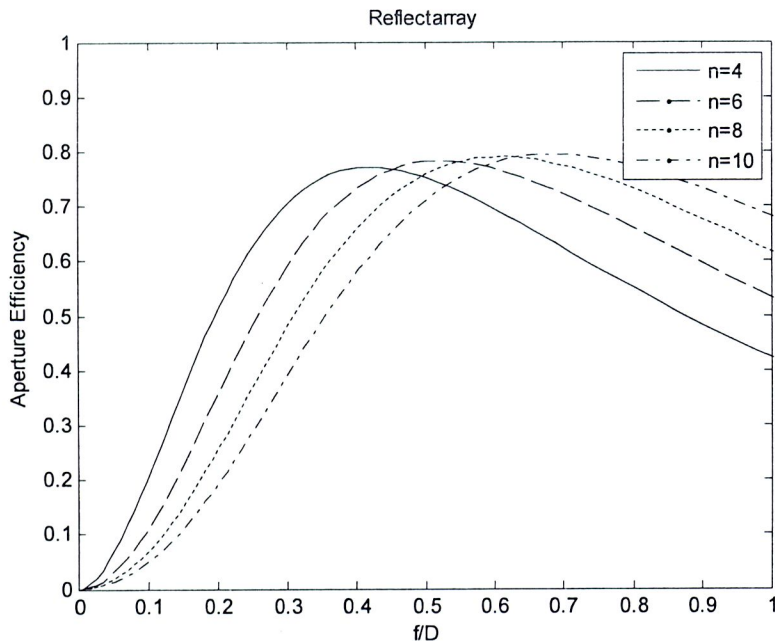
การสูญเสียจากการเริ่มของแบบรูปการแผ่กำลังงาน และประสิทธิภาพ
อะเพอร์เจอร์ของสายอากาศแคลว์ลำดับสะท้อนตามลำดับ ซึ่งพบว่า ตัวป้อนที่มีกำลังโภคไซน์ต่ำจะมีการ
สูญเสียจากการเริ่มของแบบรูปการแผ่กำลังงานต่ำด้วย แต่จะมีการสูญเสียจากการลั่นสูง เมื่อพิจารณา
ประสิทธิภาพอะเพอร์เจอร์ (aperture efficiency) พบว่าประสิทธิภาพการแผ่กำลังงานของสายอากาศแคล
ลำดับสะท้อนจะขึ้นกับค่า f/D ด้วย



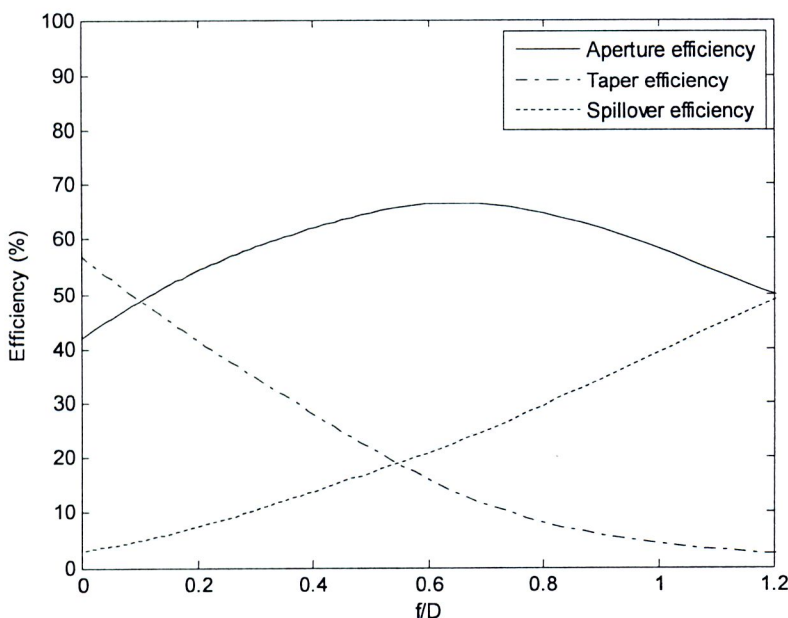
รูปที่ 4.4 ผลกระทบของกำลังโภคไซน์ของตัวป้อนต่อประสิทธิภาพความเริ่ม



รูปที่ 4.5 ผลกระทบของกำลังโภคไซน์ของตัวป้อนต่อประสิทธิภาพการลั่น



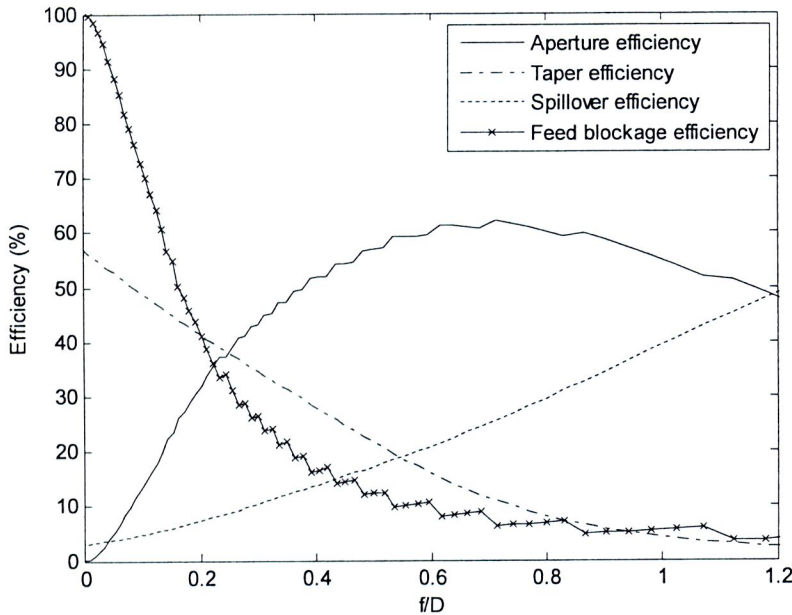
รูปที่ 4.6 ผลกราฟทบทองกำลังโโคไซน์ของตัวป้อนด้วยประสิทธิภาพเพอร์เจอร์
ของสายอากาศแคลว์ลำดับสะท้อน



รูปที่ 4.7 ประสิทธิภาพของสายอากาศแคลว์ลำดับสะท้อนเมื่อไม่พิจารณาการบดบังของตัวป้อน

รูปที่ 4.7 และ 4.8 แสดงผลกราฟทบทองของตัวป้อนที่บดบังการแผ่กำลังงาน ทำให้ประสิทธิภาพของสายอากาศลดลง จากรูปที่ 4.7 ถ้าไม่พิจารณาขนาดตัวป้อน สายอากาศจะมีประสิทธิภาพเพอร์เจอร์ประมาณ 70% แต่ถ้าพิจารณาการบดบังเนื่องจากตัวป้อนดังแสดงในรูปที่ 4.8 พบร่วมกันทำให้ประสิทธิภาพ

ลดลงเหลือเพียง 60% เท่านั้น ดังนั้นการออกแบบตัวป้อนของสายอากาศแคล้วลำดับจะทำให้ประสิทธิภาพโดยรวมของสายอากาศเพิ่มขึ้นได้



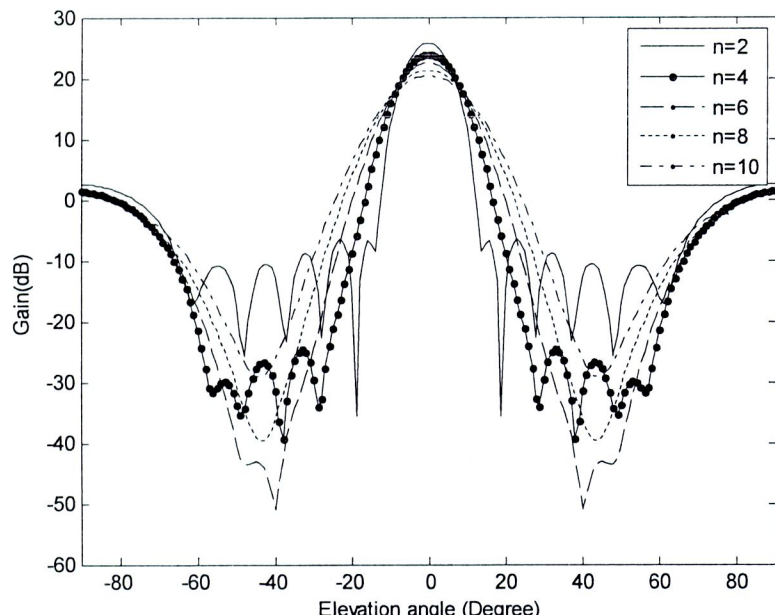
รูปที่ 4.8 ประสิทธิภาพของสายอากาศแคล้วลำดับจะเพิ่มขึ้นเมื่อพิจารณาการบดบังของตัวป้อน

4.4 การศึกษาผลกระทบของกำลังโคงไชน์ต่อแบบรูปการแผ่กำลังงานของสายอากาศแคล้วลำดับจะเพิ่มขึ้น

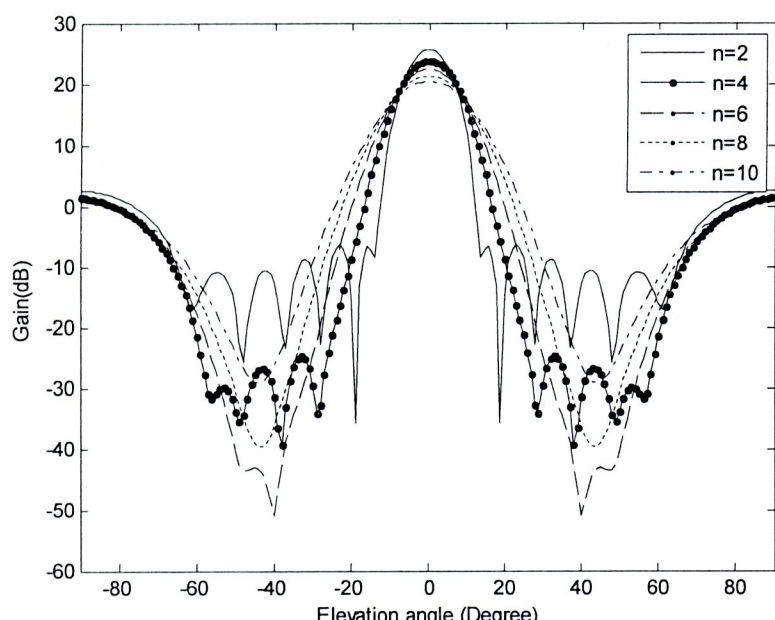
ในหัวข้อนี้จะทำการศึกษาผลกระทบของกำลังโคงไชน์ต่อแบบรูปการแผ่กำลังงานของสายอากาศแคล้วลำดับจะเพิ่มทั้งกรณีสายอากาศแบบเจาะจงทิศทางและแบบจัดลำคลื่น

4.4.1 สายอากาศแคล้วลำดับจะเพิ่มทั้งแบบเจาะจงทิศทาง

สำหรับการออกแบบสายอากาศแคล้วลำดับจะเพิ่มทั้งแบบเจาะจงทิศทาง ถ้ากำหนดให้ไม่เกิดการสูญเสียเนื่องจากการลื้น พบว่า ตัวป้อนที่มีกำลังโคงไชน์ต่ำทั้งระบบสามารถไฟฟ้าและระบบสานามแม่เหล็กจะให้สานามตกรอบพิเศษท่อนใกล้เคียงกันทุกจุด ส่งผลให้สายอากาศแคล้วลำดับจะเพิ่มทั้งระบบเจาะจงทิศทาง โดยลักษณะคลื่นจะแบบและซึ่งไปยังตำแหน่ง 0 องศา ถ้าค่ากำลังโคงไชน์มีค่าเพิ่มขึ้นจะทำให้อัตราขยายเพิ่มสูงขึ้น รูปที่ 4.9 แสดงผลกระทบของกำลังโคงไชน์ต่อแบบรูปการแผ่กำลังงานของสายอากาศแคล้วลำดับจะเพิ่มทั้งแบบเจาะจงทิศทาง



(ก) รูปแบบสัญญาณไฟฟ้า



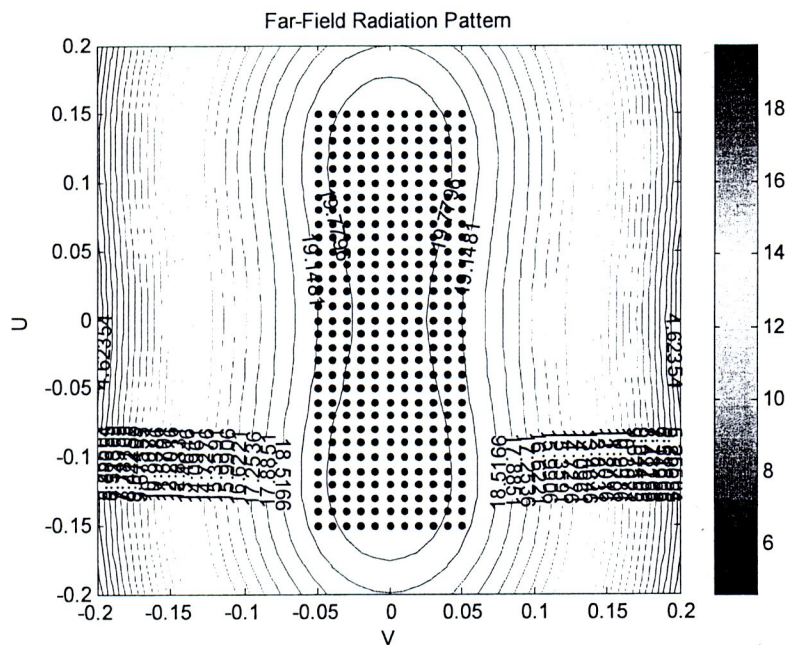
(ข) รูปแบบสัญญาณแม่เหล็ก

รูปที่ 4.9 ผลกระทบของกำลังโ Cooke ชันต์ต่อแบบรูปการแผ่กำลังงาน
ของสายอากาศแควลำดับสะท้อนแบบเจาะจงทิศทาง

4.4.2 สายอากาศแคลบ์ดับสะท้อนแบบจัดลำคลื่น

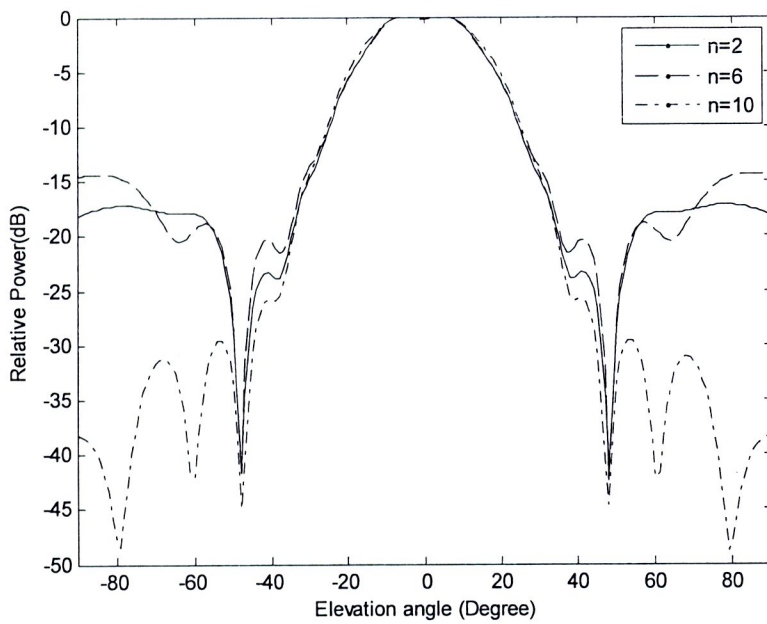
การออกแบบสายอากาศแคลบ์ดับสะท้อนแบบจัดลำคลื่นมักนิยมออกแบบให้มีลำคลื่นครอบคลุมพื้นที่บริการ และกำหนดให้อัตราขยายเป็นไปตามที่ต้องการ โดยสามารถพิจารณาลักษณะพื้นที่ให้บริการแบบเรขาคณิตอย่างง่ายได้ เช่น วงกลม สี่เหลี่ยม เป็นต้น สำหรับลักษณะพื้นที่มีความซับซ้อน เช่น ครอบคลุมพื้นที่ประเทศไทย เป็นต้น ในหัวข้อนี้จะพิจารณาเฉพาะผลกระทบของกำลังโคลาเซนท์มีผลต่อลักษณะพื้นที่ครอบคลุมอย่างง่ายเท่านั้น โดยกำหนดให้อัตราขยายมีค่าเท่ากับ 20 dB รูปที่ 4.10 ถึง 4.11 แสดงผลการจำลองแบบสายอากาศแคลบ์ดับสะท้อน พนว่า กำลังโคลาเซนท์ค่าต่างๆ จะให้แบบรูปการแผ่กำลังงานที่ต้องการใกล้เคียงกัน แต่กำลังโคลาเซนท์จะใช้เวลาในการประมวลผลน้อยกว่า

รูปที่ 4.10 แสดงแบบรูปการแผ่กำลังงานของสายอากาศแคลบ์ดับสะท้อนที่มีการจัดลำคลื่นแบบสี่เหลี่ยมผืนผ้า โดยลักษณะลำคลื่นจะกว้างในระนาบสนานไฟฟ้า และลำคลื่นแคบในระนาบสนานแม่เหล็ก เมื่อ $u = \frac{x}{R} \sin \theta \cos \phi$ และ $v = \frac{y}{R} \sin \theta \sin \phi$ เป็นพิกัดจุดสังเกต ส่วน R เป็นระยะสนานระยะไกล

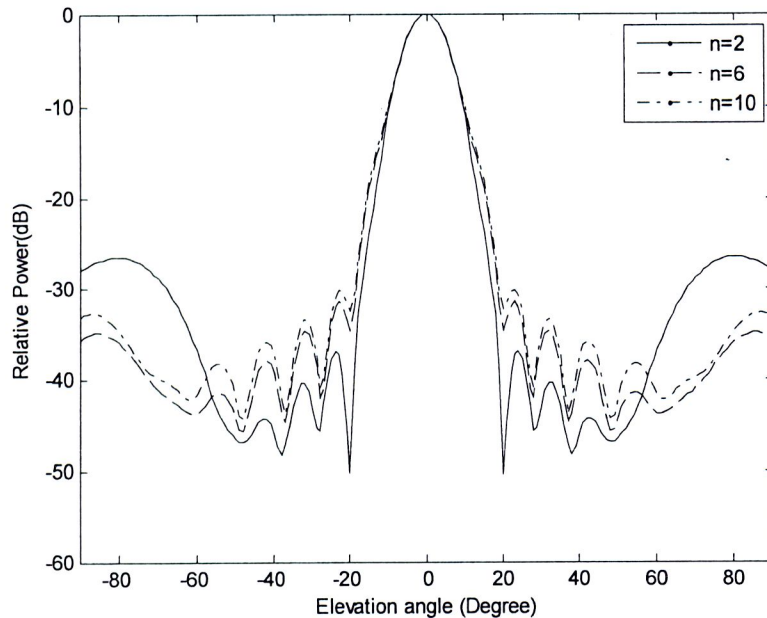


(ก) ลักษณะพื้นที่ครอบคลุม

รูปที่ 4.10 ผลกระทบของกำลังโคลาเซนท์ต่อแบบรูปการแผ่กำลังงานของสายอากาศแคลบ์ดับสะท้อนแบบจัดลำคลื่นรูปสี่เหลี่ยมผืนผ้า

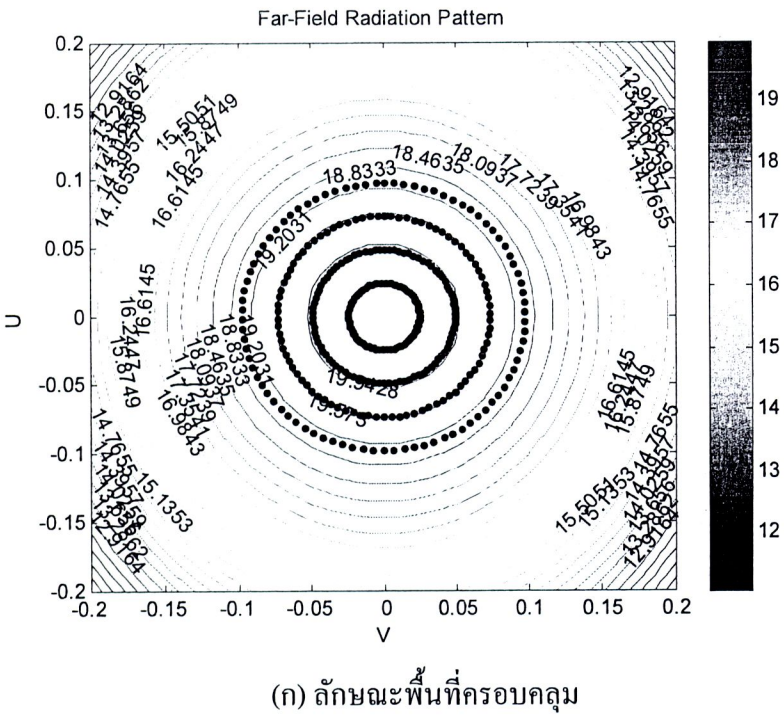


(x) แบบรูปการแผ่กำลังงานในระนาบสันม้าไฟฟ้า

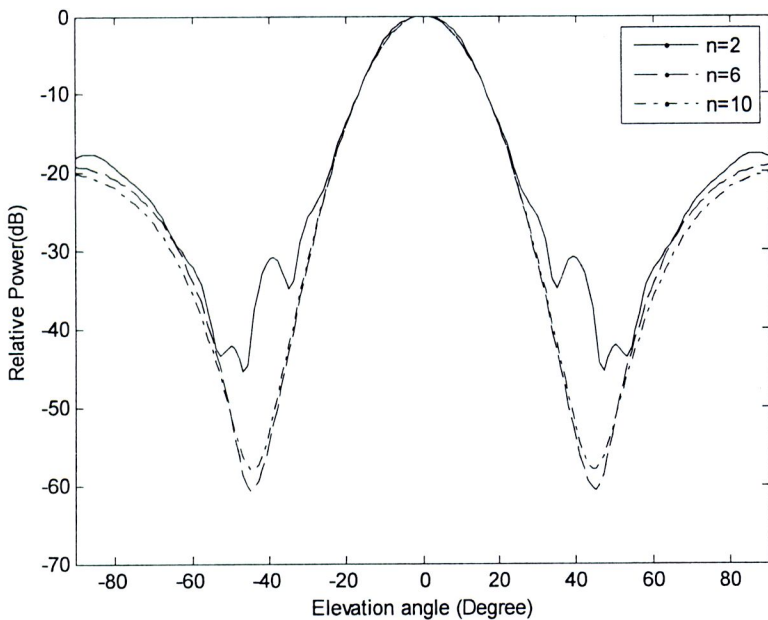


(c) แบบรูปการแผ่กำลังงานในระนาบสันม้าแม่เหล็ก

รูปที่ 4.10 ผลกราฟของกำลังโ Cooke ไซน์ต่อแบบรูปการแผ่กำลังงาน
ของสายอากาศแคลมดับสะท้อนแบบจัดลักษณะรูปสี่เหลี่ยมผืนผ้า (ต่อ)



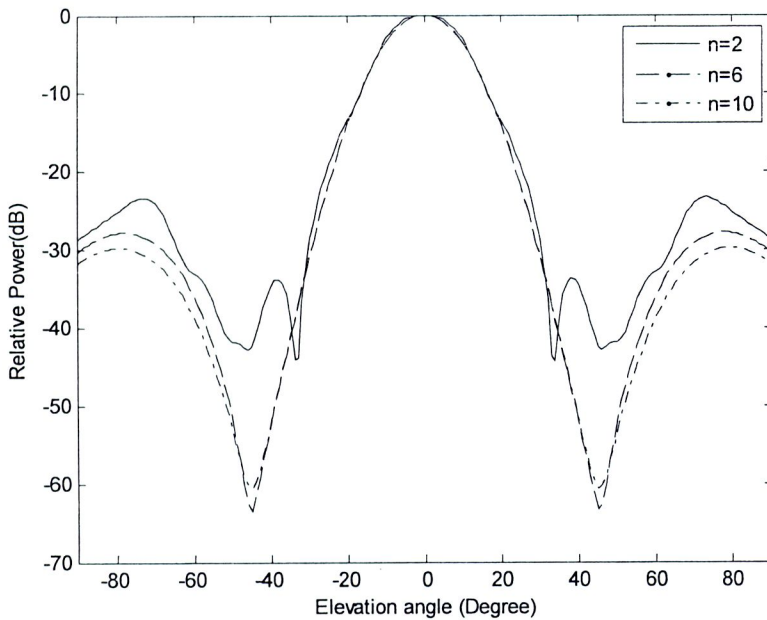
(ก) ลักษณะพื้นที่ครอบคลุม



(ข) แบบรูปการแผ่กำลังงานในระบบสนา�ไฟฟ้า

รูปที่ 4.11 ผลกระทบของกำลังโคงิใช้น์ต่อแบบรูปการแผ่กำลังงาน

ของสายอากาศแล้วลำดับจะท่อนแบบจัดลำคลื่นรูปวงกลม



รูปที่ 4.11 ผลกระทบของกำลังโโคไซน์ต่อแบบรูปการแผ่กำลังงานของสายอากาศแคลว์ลำดับสะท้อนแบบจัดลำคลื่นรูปวงกลม (ต่อ)

4.5 การออกแบบและจำลองผลสายอากาศร่องแบบเรียวเพื่อเป็นตัวป้อนของสายอากาศแคลว์ลำดับสะท้อนโดยใช้โปรแกรมสำเร็จรูป CST

จากการศึกษาในหัวข้อที่ผ่านมา พบว่า ตัวป้อนที่เหมาะสมสำหรับสายอากาศแคลว์ลำดับสะท้อนคือ สายอากาศที่มีกำลังโโคไซน์ต่ำหรือมีลำคลื่นกว้างนั่นเอง และตัวป้อนความเมี้ยนขาดเล็ก ไม่นับบังคลื่นที่สะท้อนออกมากจากตัวสะท้อน จากการศึกษาปริทศน์วรรณกรรมในบทที่ 2 พบว่า สายอากาศที่เหมาะสมในการออกแบบตัวป้อนคือสายอากาศร่องแบบเรียว เนื่องจากไม่นับบังคลื่น แต่สายอากาศดังกล่าวมักมีปัญหาการสูญเสียจากความเรียวของแบบรูปของตัวป้อน ดังนั้นงานวิจัยนี้จึงต้องการปรับรูปแบบสายอากาศร่องแบบเรียวให้มีกำลังโโคไซน์ต่ำ

4.5.1 การคำนวณค่าพารามิเตอร์อ้างอิงต่างๆ ของสายอากาศร่องแบบเรียว

จากบทที่ 3 สามารถคำนวณหาค่าพารามิเตอร์อ้างอิงต่าง ๆ ของสายอากาศร่องแบบเรียวได้ ดังตารางที่ 4.1 ซึ่งเป็นค่าอ้างอิงในการออกแบบสายอากาศร่องแบบเรียว

เมื่อกำหนดให้ความถี่ปฎิบัติการคือ 5.2 GHz และป้อนกำลังงานด้วยเต้นในโครสตริป 50 Ω ให้ $f = 5.2 \text{ GHz}$, $H = 1.6 \text{ mm}$, $Z_o = 50 \Omega$, $\epsilon_r = 4.5$ และ

1. ความยาวของร่อง หรือ F_l หาได้จาก

$$F_l = \lambda_0 = \frac{3 \times 10^8}{5.2 \times 10^9} = 57.69\text{mm}$$

2. ความกว้างของร่อง F_w

$$F_w = \frac{\lambda_0}{2} = 28.85\text{mm}$$

3. ความยาวของสายอากาศ A_l

$$A_l = F_l + \frac{\lambda_0}{4} = 72.11\text{mm}$$

4. ความกว้างของสายอากาศ A_w เมื่อกำหนดให้จุดสุดท้ายของร่องเรียว (*end of the tapered*) กว้างเท่ากับ 2 mm จะได้

$$A_w = F_w + 2(\text{end of the tapered}) = 28.85 + 2(2) = 32.85\text{mm}$$

5. เส้นผ่านศูนย์กลางวงกลมของสตัน หาได้จาก

$$D_s = \frac{\lambda_g}{4} = 6.79\text{mm}$$

6. ความยาวของส่วนที่เป็นเส้นตรงของร่อง หรือ L_t และ ความยาวชดเชยด้านหลังสตัน หรือ L_g เมื่อกำหนดให้ $L_t = L_g$ จะได้

$$L_s = L_t = \frac{\frac{\lambda_0}{4} - D_s}{2} = 3.82\text{mm}$$

7. ความกว้างของเส้นใหม่โครงสร้าง W_{st} หาได้จาก

$$H' = \frac{Z_0 \sqrt{2(\varepsilon_r + 1)}}{119.9} + \frac{1}{2} \left(\frac{\varepsilon_r - 1}{\varepsilon_r + 1} \right) \left(\ln \frac{\pi}{2} + \frac{1}{\varepsilon_r} \ln \frac{4}{\pi} \right) = 1.54$$

และ $\frac{w_{st}}{H} = \left(\frac{\exp H'}{8} - \frac{1}{4 \exp H'} \right)^{-1}$

เมื่อ $H = 1.6\text{ mm}$ จะได้ $w_{st} = 3.02\text{mm}$

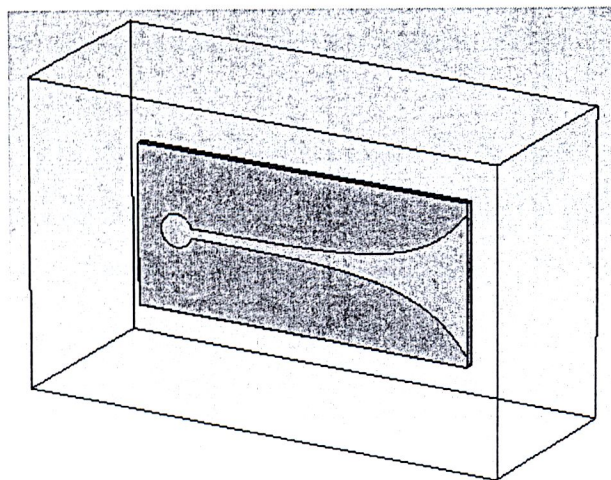
4.5.2 การจำลองแบบสายอากาศตามค่าการคำนวณโดยใช้โปรแกรม CST MICROWAVE STUDIO

ผลจากการจำลองแบบสายอากาศร่องแบบเรียวด้วยโปรแกรมสำเร็จรูป CST ดังแสดงรูปที่ 4.12 (ก) และ (ข) ตามลำดับ ซึ่งจะเห็นว่ามีค่าการสูญเสียข้อนกลับ (S_{11}) ไม่เป็นไปตามวัตถุประสงค์ในการออกแบบ โดยสายอากาศทำงานที่ความถี่ประมาณ 2.88 GHz และ 5.1 GHz ตามลำดับ ดังนั้นจึงต้องทำการปรับหาค่าที่เหมาะสม เพื่อให้ได้สายอากาศร่องแบบเรียวที่มีความกว้างແบนครอบคลุมช่วงความถี่ปฏิบัติการที่ 5.2 GHz โดยมีค่าพารามิเตอร์ที่ใช้ในการปรับหาค่าที่เหมาะสม ได้แก่ ความยาวของ

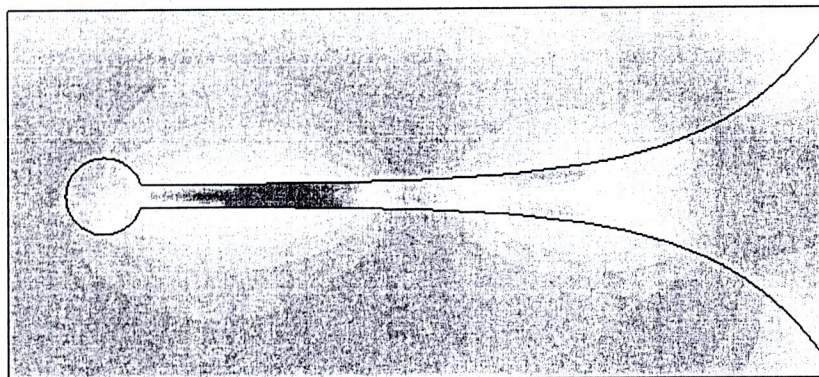
สายอากาศ (antenna length : A_t) ความกว้างของร่อง (flared slotline width : F_w) ความยาวเส้นผ่านศูนย์กลางของสตับ (Diameter of stub : D_s) อัตราความโคลงของร่องเรียวเอกซ์โพเนนเชียล (exponential opening rate : R) อัตราความโคลงของแผ่นสะท้อน (r) และตำแหน่งของแผ่นสะท้อน (x) ซึ่งจะพิจารณาการปรับหาค่าที่เหมาะสมจากค่าการสูญเสียข้อนกลับของสายอากาศ

ตารางที่ 4.1 ค่าพารามิเตอร์ทางอิงของสายอากาศร่องแบบเรียว

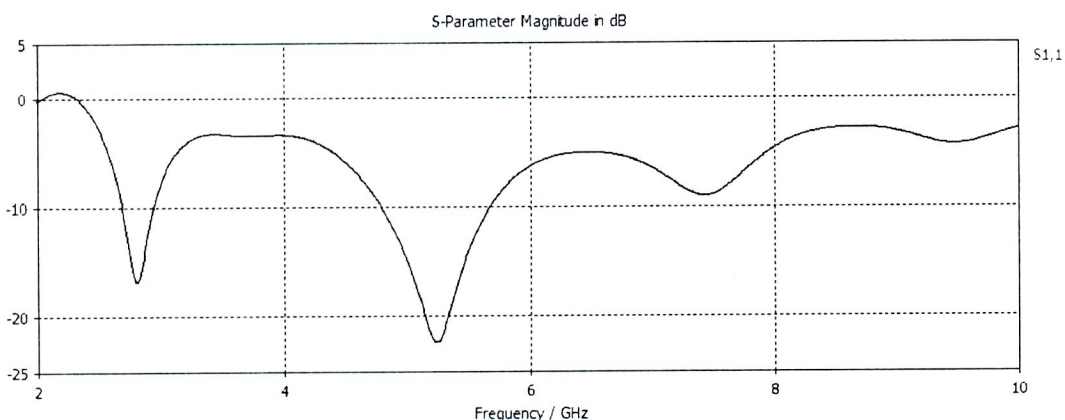
| พารามิเตอร์ของสายอากาศร่องแบบเรียว | ขนาด (mm) |
|--|-----------|
| A_t : ความยาวของสายอากาศ | 72.11 |
| A_w : ความกว้างของสายอากาศ | 32.85 |
| F_l : ความยาวของร่อง | 57.69 |
| F_w : ความกว้างของร่อง | 28.85 |
| R : อัตราความโคลงของร่องเรียวเอกซ์โพเนนเชียล | 0.1 |
| L_g : ความยาวชดเชยด้านหลังสตับ | 3.82 |
| L_i : ความยาวของส่วนที่เป็นเส้นตรงของร่อง | 3.82 |
| H : ความสูงของวัสดุฐานรอง | 1.6 |
| D_s : เส้นผ่านศูนย์กลางวงกลมของสตับ | 6.79 |
| W_{st} : ความกว้างของเส้นไม้โครงสร้าง | 3.02 |
| r : อัตราความโคลงของแผ่นสะท้อน | 0.1 |
| L : ความยาวของแผ่นสะท้อน | 35 |
| W : ความกว้างของแผ่นสะท้อน | 8 |



(ก) แบบจำลองสายอากาศ



(๗) การແຜ່ສນາມໄຟຟາຂອງສາຍອາກາສ



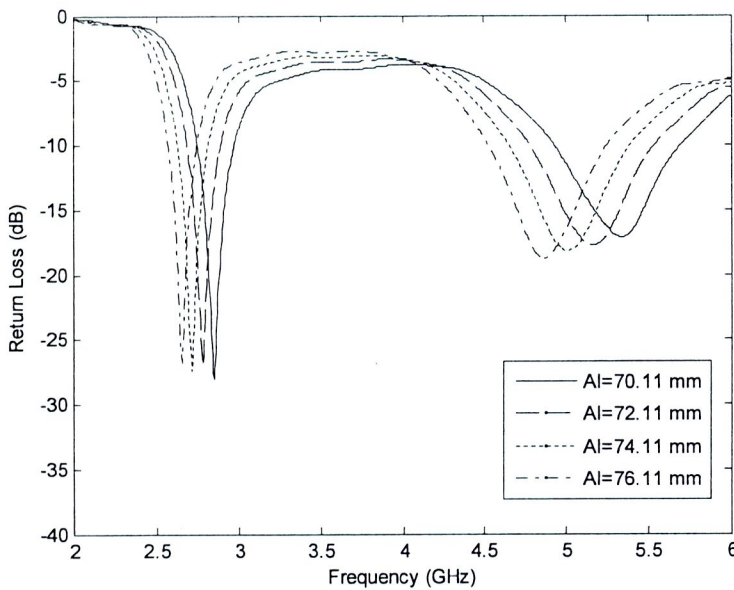
(ค) คำการสัญเสียงกลับ

รูปที่ 4.12 ผลการจำลองแบบสายอากาศร่องแบนเรียกว่า โปรแกรม CST MICROWAVE STUDIO
กรณีไม่มีแผ่นสะท้อนด้านหน้า

4.5.3 การศึกษาผลกราฟทบทวนพารามิเตอร์ของสายอากาศร่องแบบเรียบ

1. ความยาวของสายอากาศ

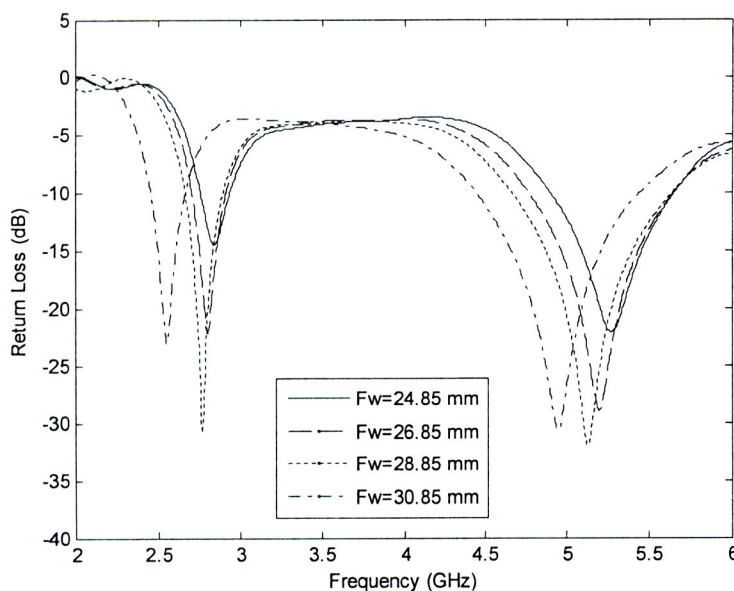
เมื่อทำการเปลี่ยนแปลงค่าความยาวของสายอากาศ หรือ A , เท่ากับ 70.11 มิลลิเมตร 72.11 มิลลิเมตร 74.11 มิลลิเมตร และ 76.11 มิลลิเมตร ตามลำดับ โดยให้ค่าพารามิเตอร์ อี่น ๆ มีค่าคงที่ จากการจำลองผลพบว่าเมื่อสายอากาศร่องแบบเรียบมีความยาวเพิ่มมากขึ้นจะทำให้สายอากาศมีความถี่เรโซแนนซ์ลดลง แสดงได้ดังรูปที่ 4.13 ดังนั้นจึงเลือกค่าความยาวของสายอากาศเท่ากับค่าอ้างอิงเดิมคือ 72.11 มิลลิเมตร



รูปที่ 4.13 ผลกรบทบต่อความถี่เรโซแนนซ์เมื่อปรับค่า A_l

2. ความกว้างของร่อง

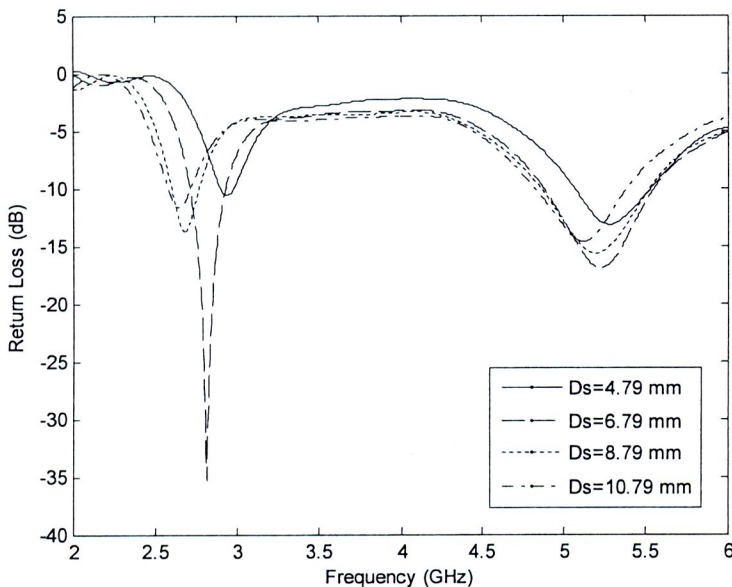
เมื่อทำการเปลี่ยนแปลงค่าความกว้างของร่อง หรือ F_w เท่ากับ 24.85 มิลลิเมตร 26.85 มิลลิเมตร 28.85 มิลลิเมตร และ 30.85 มิลลิเมตร ตามลำดับ โดยให้ค่าพารามิเตอร์อื่น ๆ มีค่าคงที่ พบว่าเมื่อค่า F_w เพิ่มขึ้น ทำให้ค่าการสูญเสียย้อนกลับดีขึ้นเนื่องจากเป็นการเพิ่มพื้นที่ในการแผ่กระจายพลังงาน แต่ถ้า F_w เพิ่มมากขึ้นจะพบว่าความถี่ปฏิกิริการที่ช่วงความถี่กลางจะเลื่อนไปยังความถี่ที่ต่ำลง แต่จากการจำลองผลจะเห็นได้ว่าเมื่อ F_w เท่ากับ 26.85 มิลลิเมตร มีผลของค่าการสูญเสียย้อนกลับดีที่สุด แสดงดังรูปที่ 4.14



รูปที่ 4.14 ผลกรบทบต่อความถี่เรโซแนนซ์เมื่อปรับค่า F_w

3. ความยาวเส้นผ่านศูนย์กลางสตับ

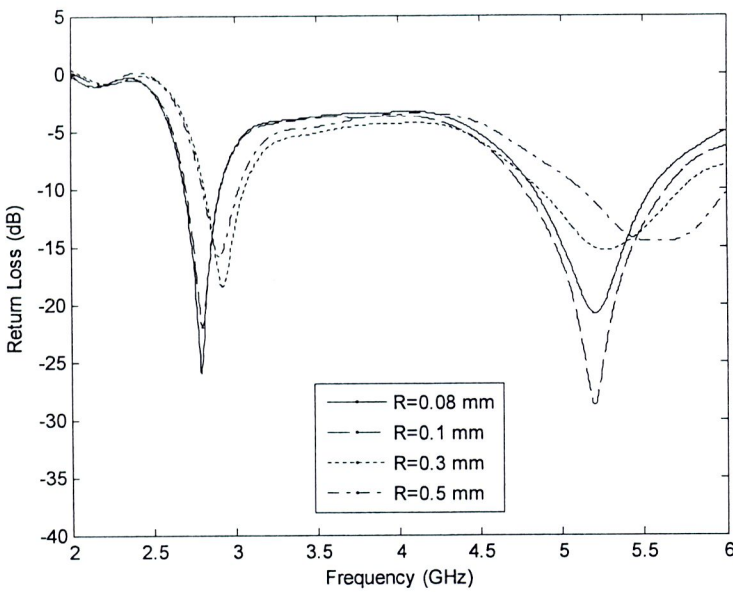
เมื่อทำการเปลี่ยนแปลงค่าความยาวเส้นผ่านศูนย์กลางสตับเท่ากับ 4.79 มิลลิเมตร 6.79 มิลลิเมตร 8.79 มิลลิเมตร และ 10.79 โดยให้ค่าพารามิเตอร์อื่น ๆ มีค่าคงที่ จากการจำลองผลพบว่าเมื่อค่า D_s ที่ทำให้สายอากาศแมตช์ที่ความถี่ 5.2 GHz คือ D_s เท่ากับ 6.79 มิลลิเมตร



รูปที่ 4.15 ผลกระทบต่อความถี่เรโซแนนซ์เมื่อปรับค่า L_g

4. อัตราความโคลงของเส้นร่องอึ๊กโพแนวเชียล

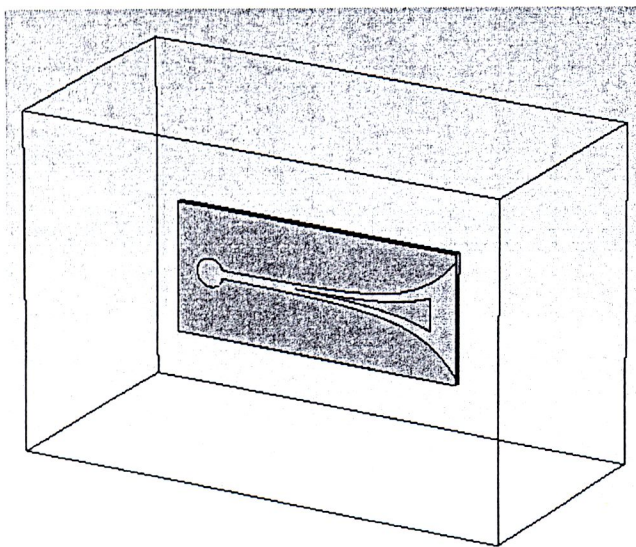
เมื่อทำการเปลี่ยนแปลงค่าอัตราความโคลงของร่องเรียวเอกซ์โพแนวเชียลหรือ R เท่ากับ 0.08 0.1 0.3 และ 0.5 โดยให้ค่าพารามิเตอร์อื่น ๆ มีค่าคงที่ จากการจำลองผลพบว่า เมื่อค่า R เพิ่มขึ้น ทำให้แทนความถี่กว้างมากขึ้น จากรูปที่ 4.16 จะเห็นได้ว่าที่ค่า R เท่ากับ 0.1 จะให้ผลของค่าการสูญเสียข้อนี้ดีสุดพบว่า ให้ความถี่ปฎิบัติการอยู่ในช่วงความถี่ 4.74-5.64 GHz มีค่าการสูญเสียข้อนี้อยกว่า -10 dB



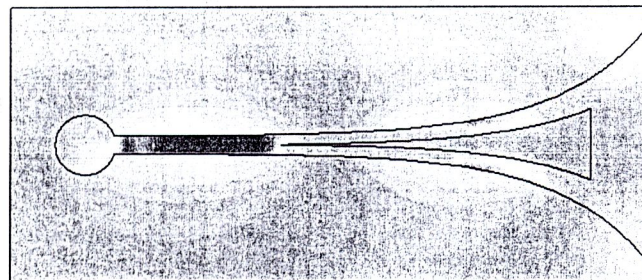
รูปที่ 4.16 ผลกรบทบต่อความถี่เรโซแนนซ์เมื่อปรับค่า R

5. เพิ่มแผ่นสะท้อนและศึกษาอัตราความโคลงและตำแหน่งของแผ่นสะท้อน

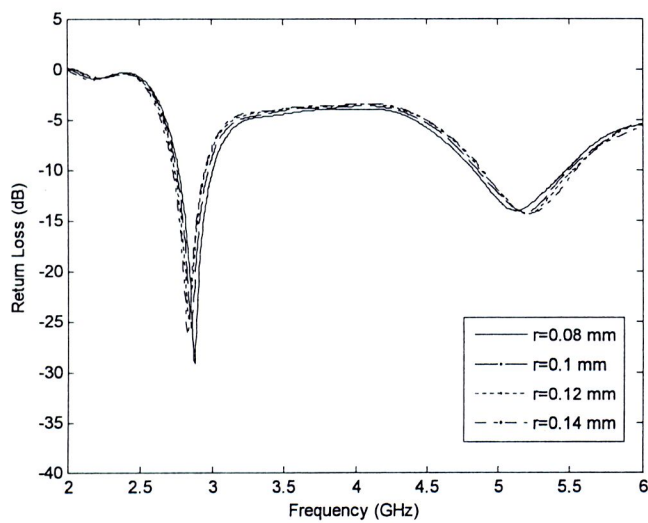
ผลการจำลองสายอากาศร่องแบบเรียบเมื่อเพิ่มส่วนสะท้อนด้านหน้า ดังแสดงในรูปที่ 4.17(ก) จะเห็นว่า แผ่นสะท้อนส่งผลต่อความถี่เรโซแนนซ์เล็กน้อย และสามารถสะท้อนคลื่นบริเวณกึ่งกลางลำคลื่นได้ ดังแสดงในรูปที่ 4.17(ข) การวางแผนตำแหน่งแผ่นสะท้อนที่เหมาะสมจะส่งผลต่อความถี่เรโซแนนซ์ รูปที่ 4.17(ค) และ (ง) แสดงผลกรบทบของอัตราความโคลงของแผ่นสะท้อนและตำแหน่งของแผ่นสะท้อน



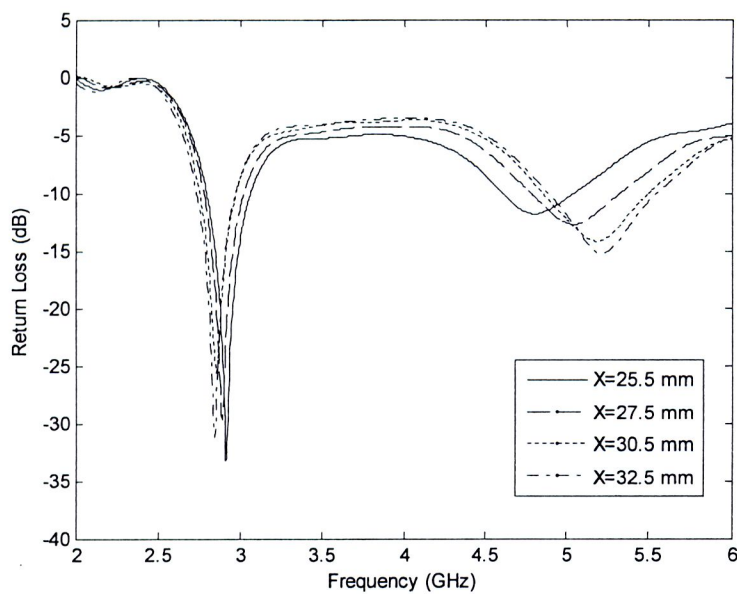
(ก) แบบจำลองสายอากาศ



(ข) การแผ่สานมไฟฟ้าของสายอากาศ

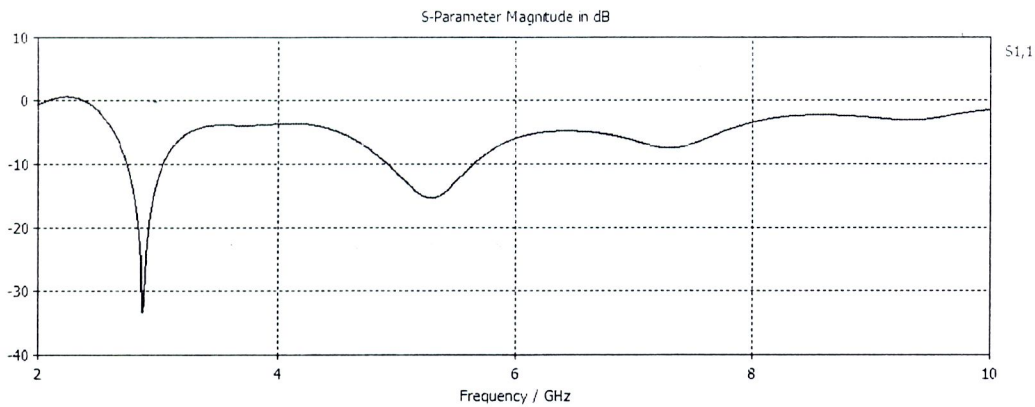


(ก) ปรับอัตราความโถ้งของแผ่นสะท้อน

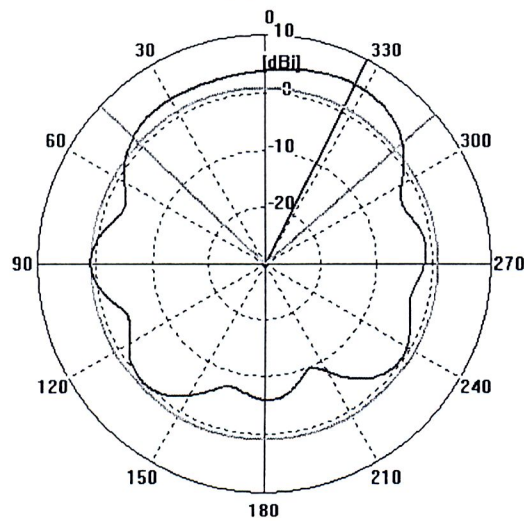


(ง) ปรับระยะของแผ่นสะท้อน

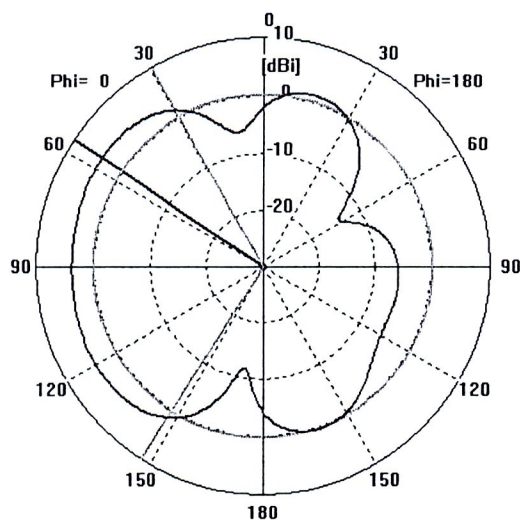
รูปที่ 4.17 ผลกระทบต่อลำคลื่น เมื่อเพิ่มแผ่นสะท้อนด้านหน้า



(ก) การสูญเสียย้อนกลับ



(ข) แบบรูปการเผยแพร่พลังงานในระบบสามมิติไฟฟ้า



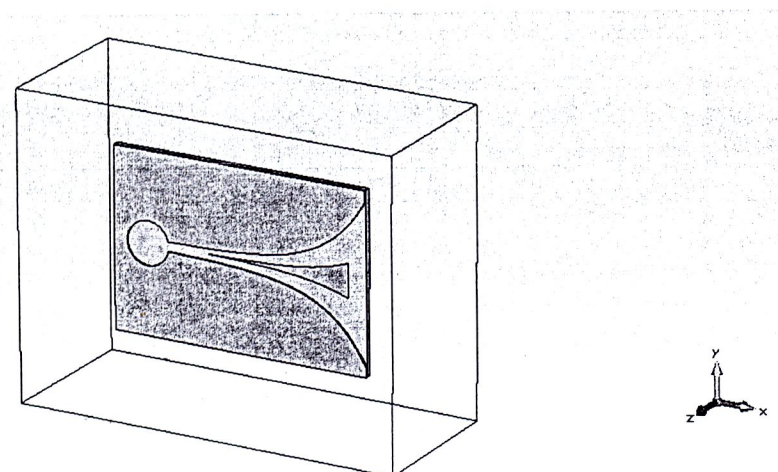
(ค) แบบรูปการเผยแพร่พลังงานในระบบสามมิติแม่เหล็ก

รูปที่ 4.18 ผลการจำลองแบบหลังปรับพารามิเตอร์ของสาขาก้าศครั้งที่ 1

จากการปรับหาค่าพารามิเตอร์สามารถสรุปค่าพารามิเตอร์สำหรับการปรับครั้งแรก ได้ดังตารางที่ 4.2 เนื่องจากสายอากาศร่องแบบเรียวยที่ออกแบบมีแผ่นสะท้อนด้านหน้าเพื่อแบ่งกำลังงาน และสายอากาศสามารถทำงานได้สองความถี่ โดยสายอากาศแมตช์ที่ความถี่ 2.88 GHz และ 5.2 GHz จึงทำให้สายอากาศมีอัตราขยายเท่ากัน 5.26 dB ถ้าต้องการให้อัตราขยายเพิ่มสูงขึ้น จึงจำเป็นต้องลดความถี่ปฏิบัติการด้านความถี่ต่ำ ดังนั้นงานวิจัยนี้จึงปรับขนาดของสายอากาศใหม่อีกครั้ง ดังแสดงในตารางที่ 4.2 และรูปที่ 4.19 แสดงผลการจำลองสายอากาศร่องแบบเรียวย จะเห็นว่าค่าการสูญเสียข้อนกลับมีค่าน้อยกว่า -10 dB ครอบคลุมช่วงความถี่ตั้งแต่ 4.59 GHz ถึง 8.17 GHz ดังรูปที่ 4.19(ข) อัตราส่วนคลื่นนิ่งมีค่าต่ำกว่า 2 ครอบคลุมช่วงความถี่ตั้งแต่ 4.59 GHz ถึง 8.17 GHz เช่นกัน แสดงได้ดังรูปที่ 4.19(ค) สำหรับแบบรูปการแพเพล้งงานทั้งในระนาบฐานานาไฟฟ้าและระนาบฐานานามแม่เหล็กแสดงดังรูปที่ 4.19(ง) และ(จ) ตามลำดับ โดยผลการจำลองที่ได้มีอัตราขยายดังตารางที่ 4.3

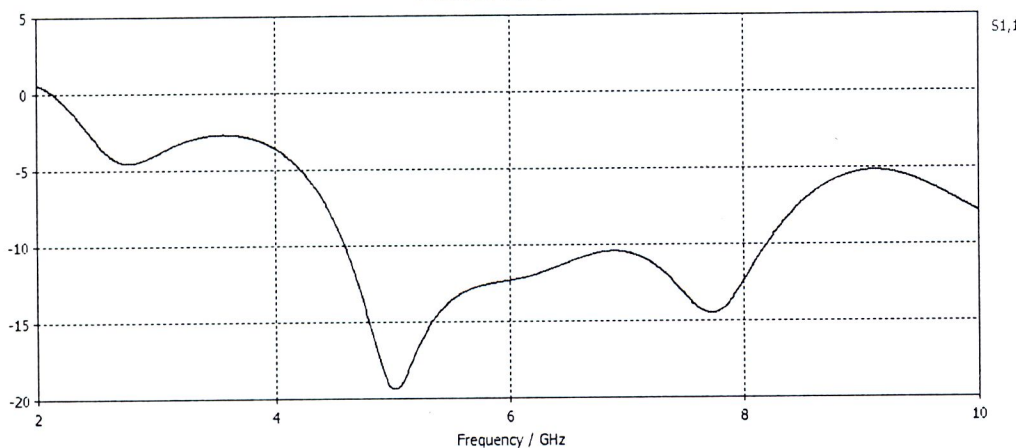
ตารางที่ 4.2 ค่าพารามิเตอร์ของสายอากาศร่องแบบเรียวยหลังปรับพารามิเตอร์

| พารามิเตอร์ของสายอากาศร่องแบบเรียวย | ขนาด (mm) | |
|---|----------------|----------------|
| | ปรับครั้งที่ 1 | ปรับครั้งที่ 2 |
| A_t : ความยาวของสายอากาศ | 72.11 | 63.03 |
| A_w : ความกว้างของสายอากาศ | 30.85 | 42.82 |
| F_t : ความยาวของร่อง | 57.68 | 45.79 |
| F_w : ความกว้างของร่อง | 26.85 | 37.62 |
| R : อัตราความโถ้งของร่องเรียวยเอกซ์โพเนนเชียล | 0.1 | 0.1 |
| L_g : ความยาวชุดเชือกด้านหลังสตับ | 3.82 | 3.42 |
| L_t : ความยาวของส่วนที่เป็นเส้นตรงของร่อง | 3.82 | 3.42 |
| H : ความสูงของวัสดุฐานรอง | 1.6 | 1.6 |
| D_s : เส้นผ่าศูนย์กลางวงกลมของสตับ | 6.79 | 10.4 |
| W_{st} : ความกว้างของเส้นไม้โครงสร้าง | 3.0079 | 3.00079 |
| r : อัตราความโถ้งของแผ่นสะท้อน | 0.1 | 0.1 |
| L : ความยาวของแผ่นสะท้อน | 35 | 35 |
| W : ความกว้างของแผ่นสะท้อน | 8 | 8 |



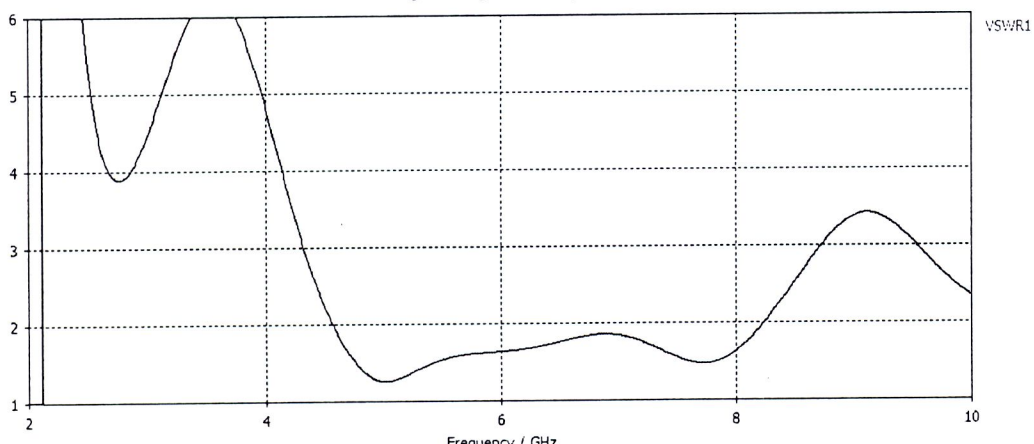
(ก)

S-Parameter Magnitude in dB

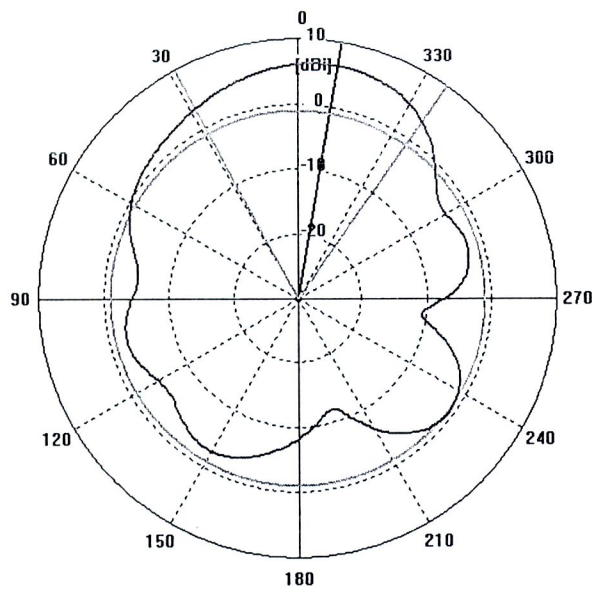


(ก) การสูญเสียขอนกลับ

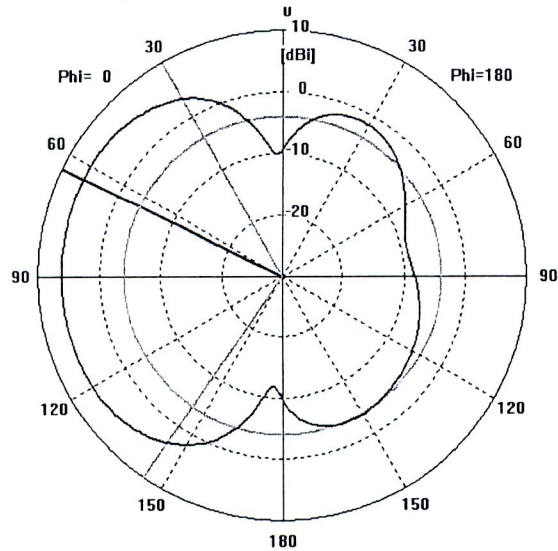
Voltage Standing Wave Ratio (VSWR)



(ก) อัตราส่วนคลื่นนิ่ง



(ก) แบบรูปการเผยแพร่พลังงานในระนาบสันамไฟฟ้า



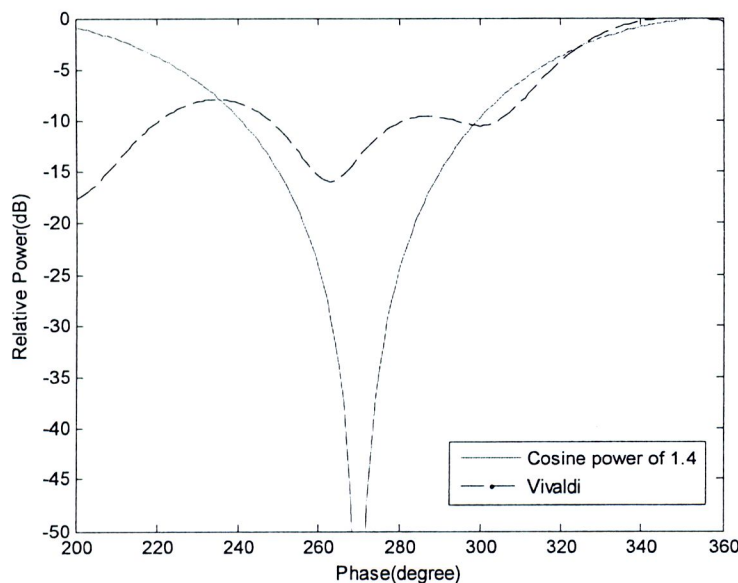
(จ) แบบรูปการเผยแพร่พลังงานในระนาบสันามแม่เหล็ก

รูปที่ 4.19 ผลการจำลองแบบสายอากาศที่นำเสนอ

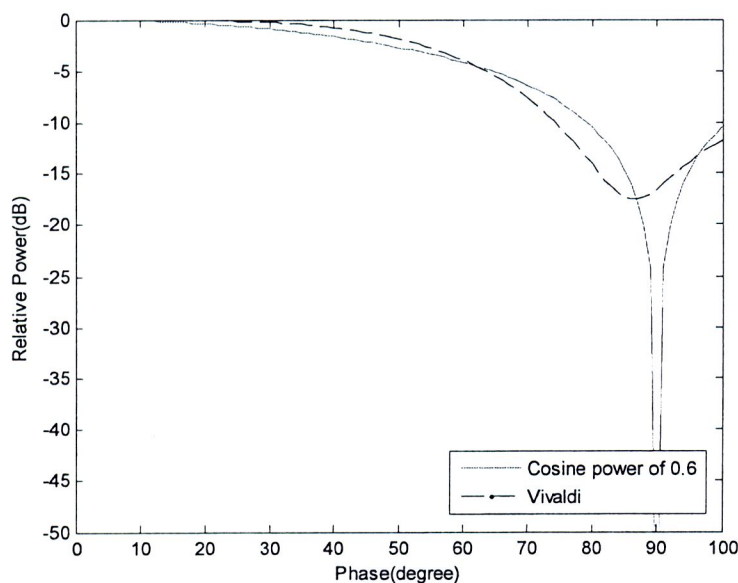
ตารางที่ 4.3 ค่าอัตราขยายจากผลการจำลองสายอากาศร่องแบบเรียบ

| สายอากาศ | อัตราขยาย (dB) |
|-------------------------------|----------------|
| ใช้พารามิเตอร์อ้างอิง | 5.37 |
| หลังปรับพารามิเตอร์ครั้งที่ 1 | 5.26 |
| หลังปรับพารามิเตอร์ครั้งที่ 2 | 6.44 |

4.6 การออกแบบสายอากาศแคลบล้ำดับสะท้อนโดยใช้ตัวป้อนจากสายอากาศร่องแบบเรียบที่ได้ออกแบบ
การออกแบบสายอากาศแคลบล้ำดับสะท้อนไม่โครงสร้างปอดิจิทัลใช้ตัวป้อนที่ออกแบบไว้ในหัวข้อ
4.4 โดยกำหนดให้ขนาดตัวสะท้อนมีค่าเท่ากับ 0.35 เมตร และตัวป้อนวางที่ตำแหน่งกึ่งกลางตัวสะท้อน
ห่างจากตัวสะท้อนด้วยระยะไฟฟ้าเท่ากับ 0.14 เมตร เมื่อพิจารณาแบบรูปการແผลักดันของตัวป้อน
ในรูปที่ 4.20 สามารถหาผลลัพธ์ของตัวป้อนได้เท่ากับ $n=1.4$ และ $n=0.6$ ในระบบสนามไฟฟ้าและ
ระบบสนามแม่เหล็กตามล้ำดับ



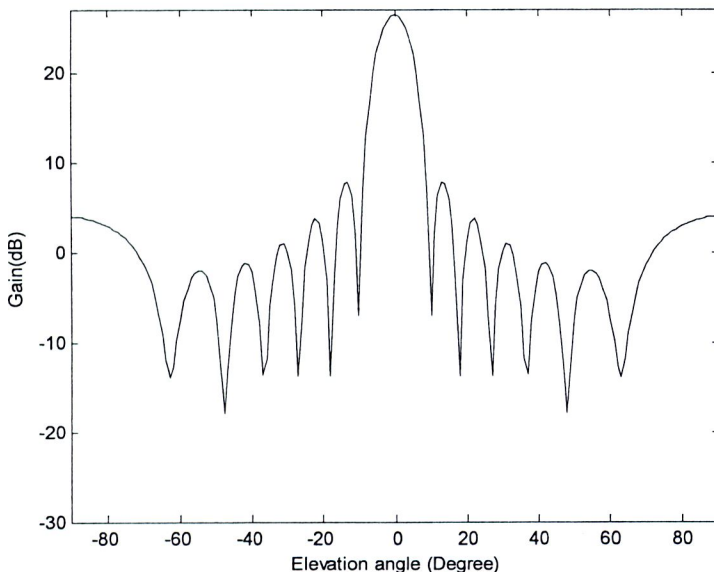
(ก) ระบบสนามไฟฟ้า



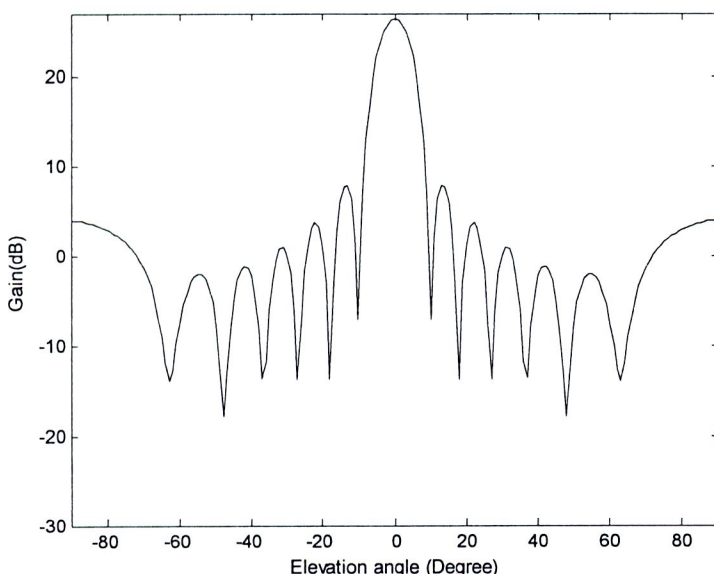
(ข) ระบบสนามแม่เหล็ก

รูปที่ 4.20 ผลลัพธ์ของตัวป้อนที่ออกแบบ

เมื่อนำสายอากาศร่องแบบเรียบมาใช้ป้อนกำลังงานให้สายอากาศแคลดับสะท้อนทั้งแบบเจาะจงทิศทางและแบบจัดลำคลื่น สามารถแสดงแบบรูปการแพ็คเกจลักษณะที่ดังรูปที่ 4.21 ถึง 4.23 ซึ่งพบว่าสายอากาศแคลดับสะท้อนให้อัตราขยายเท่ากับ 26.45, 20.32 และ 20.15 dB สำหรับสายอากาศแบบเจาะจงทิศทาง แบบจัดลำคลื่นรูปสี่เหลี่ยมผืนผ้า และแบบจัดลำคลื่นรูปวงกลมตามลำดับ

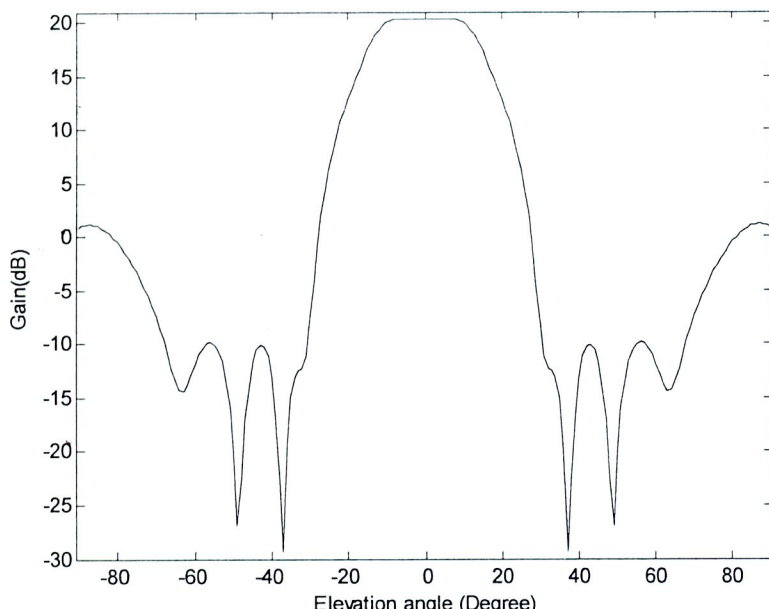


(ก) รูปแบบสานามไฟฟ้า

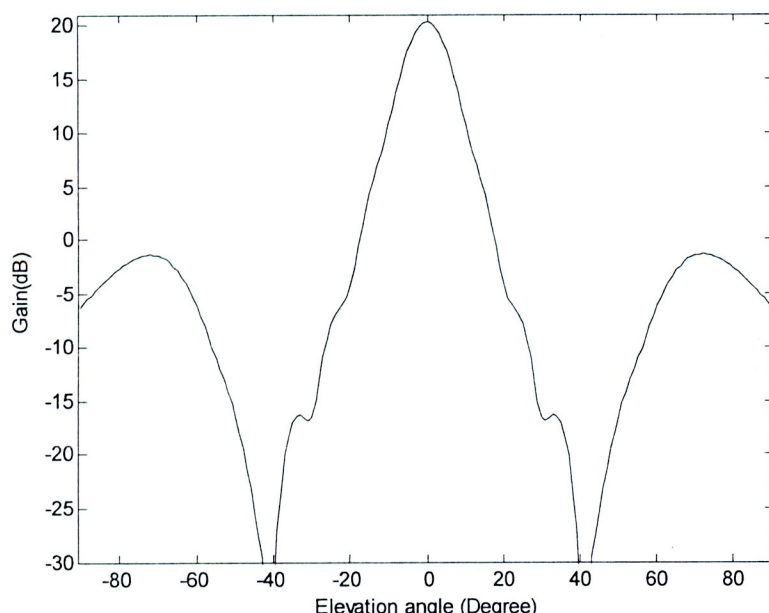


(ก) รูปแบบสานามแม่เหล็ก

รูปที่ 4.21 แบบรูปการแพ็คเกจลักษณะของสายอากาศแคลดับสะท้อนแบบเจาะจงทิศทาง เมื่อใช้ตัวป้อนที่ออกแบบ

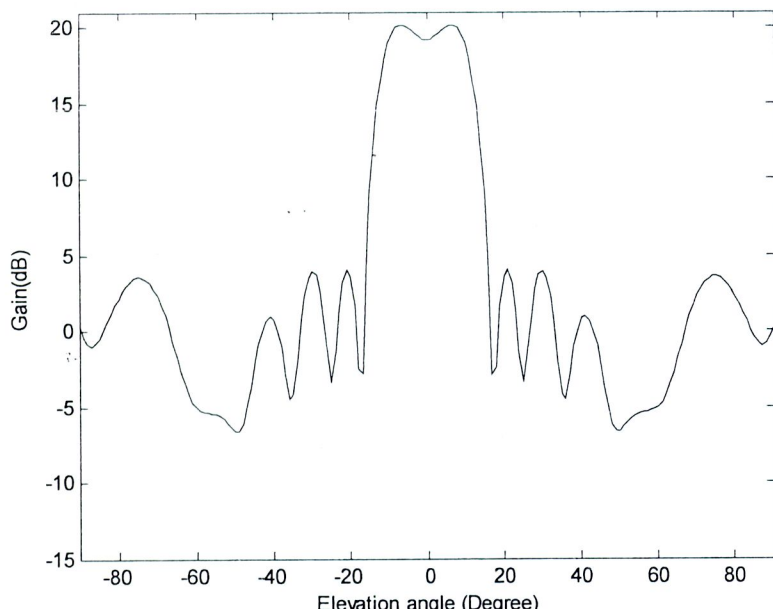


(ก) รูปแบบสนามไฟฟ้า

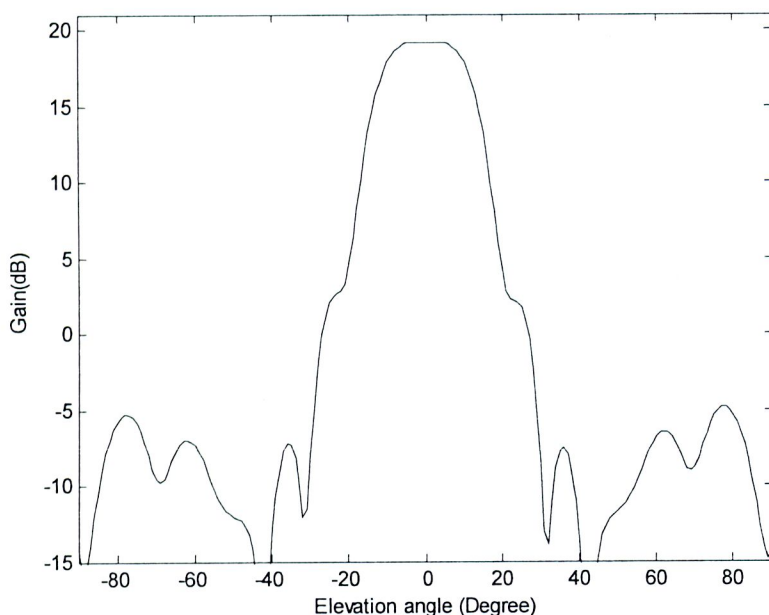


(ข) รูปแบบสนามแม่เหล็ก

รูปที่ 4.22 แบบรูปการแผ่กำลังงานของสายอากาศแควลำดับสะท้อนแบบจัดลำคลื่นรูปสี่เหลี่ยมผืนผ้า เมื่อใช้ตัวป้อนที่ออกแบบ



(ก) ร澹านสណາມໄຟຟາ



(ข) ร澹านสណາມແມ່ເຫຼືກ

ຮູບທີ 4.23 ແນບຮູບປາກແຜ່ກໍາລັງຈານຂອງສາຍອາກະແກວລຳດັບສະຫຼອນແນບຈັດລຳຄລິ້ນຮູບປາກລົມ
ເມື່ອໃຊ້ຕ້ວປົອນທີ່ອອກແນບ

4.7 สรุป

จากการออกแบบตัวป้อนของสายอากาศแควลำดับสะท้อนโดยใช้สายอากาศร่องแบบเรียว และจำลองแบบด้วยโปรแกรมสำหรูป CST ตามค่าที่ได้คำนวณ พบว่าสายอากาศไม่แมตช์ จึงทำการปรับค่าพารามิเตอร์ต่างๆ เพื่อให้ได้ความถี่ที่ต้องการ และทำการเพิ่มชีนส่วนเพื่อทำให้คลื่นกระจายออกในทิศทางที่ต้องการ ทำให้ได้ตัวป้อนที่เหมาะสม โดยมีกำลังโอดไซน์ต่ำ ประมาณ $n=1.4$ และ $n=0.6$ ในระนาบสนานไฟฟ้าและระนาบสนานแม่เหล็กตามลำดับ เมื่อนำสายอากาศดังกล่าวมาเป็นตัวป้อน จึงทำให้ได้สายอากาศแควลำดับสะท้อนแบบเจาะจงทิศทางที่อัตราขยายสูงประมาณ 26 dB และจากผลการออกแบบจะนำสายอากาศสร้างเป็นชิ้นงานต้นแบบและวัดทดสอบในบทที่ 5 ต่อไป